

BEMとFEMによる直接逆解析法の適用例の比較

神戸大学工学部 学○増田隆司・正 清水則一・正 桜井春輔

1.はじめに

直接逆解析法(DBAP)は、トンネル掘削時に計測される変位より、地山の弾性係数および初期応力を推定する方法である。¹⁾従来のDBAPは、有限要素法(FEM)により構成されているが、これを、境界要素法(BEM)を用いて構成すれば、DBAPの現場への適用性は、さらに向上すると考えられる。つまり、BEMの特性により、計算容量、時間の節約、入力データ作成の省力化が可能となる。本報告では、BEMとFEMのそれぞれにより構成されるDBAPを用い、実測結果の逆解析を行った結果を示す。そしてBEMのDBAPが有用であることを示す。なお、本文では二次元平面ひずみ状態を仮定する。

2.直接逆解析法の概要

DBAPでは、まず、次の仮定を設ける。①地山と吹付けコンクリート覆工(以下、吹付けと略す)を等方等質弾性体として取扱う。②初期応力は、トンネル周辺で一様とする。計測点における変位 $\{u\}$ は次式で表わされる。²⁾

$$\{u\} = [F]\{\sigma^*\} \quad (1)$$

ただし、 $\{\sigma^*\} = (\sigma_{11}/E_R, \sigma_{22}/E_R, \sigma_{12}/E_R)^T$ ($\sigma_{11}, \sigma_{22}, \sigma_{12}$: 地山の初期応力、 E_R : 地山のヤング係数)、 $[F]$ は、①トンネルと吹付けの形状、②地山と吹付けのポアソン比(ν_R, ν_S)③地山と吹付けのヤング係数比(E_R/E_S)④計測位置およびパターン、の関数となる。ここで、①④は対象としているトンネルに対して定まるため、②を既知とすれば、式(1)において未知パラメーターは、 E_R/E_S と $\{\sigma^*\}$ となる。測定変位から、これらのパラメーターを求める手順を図-2に示す。

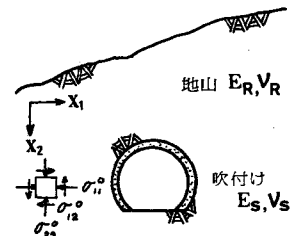


図-1 初期応力状態にある地山に掘削されたトンネル

3.適用例

三つのトンネルについて逆解析する。それぞれのトンネルに対して、用いた諸量を表-1に示す。図-3~5は、トンネル形状、要素分割および、測定変位とBEM逆解析による計算変位の比較図である。表-2~4は、逆解析によって得た初期応力とヤング係数である。BEM逆解析によって、FEM逆解析結果と同程度の解を得るにあたって、節点数にして2~4倍、時間にして約15倍であることがわかった。

4.むすび

BEMの利用によって、直接逆解析法の効率化が可能となる。

謝辞 FEMの逆解析では、野網早男(神大研究生)、進士正人(神大院生)、武内邦文(元神大院生)、各氏の結果を使わせていただきました。心からお礼を述べ、謝辞と致します。

表-1 インプットデータと節点数

	E_S	ν_S	ν_R	R_1	BEMの節点数	FEMの節点数
A トンネル	—	—	0.30	—	28	153
B トンネル	—	—	0.30	—	53	215
C トンネル	40000	0.25	0.30	0.30	94	148

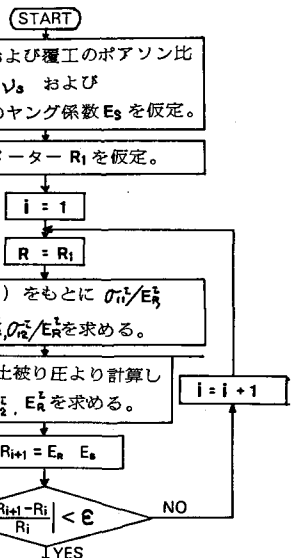


図-2 解析手順

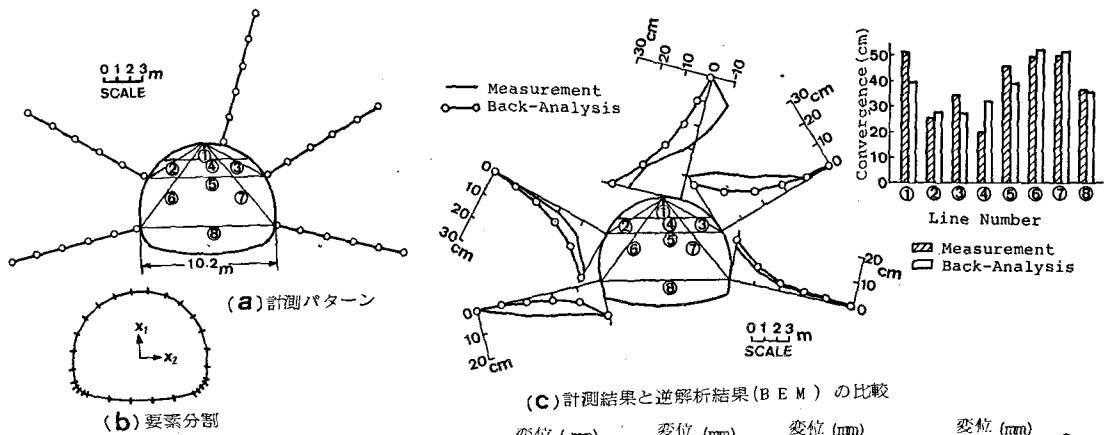


図-3 A トンネルの場合

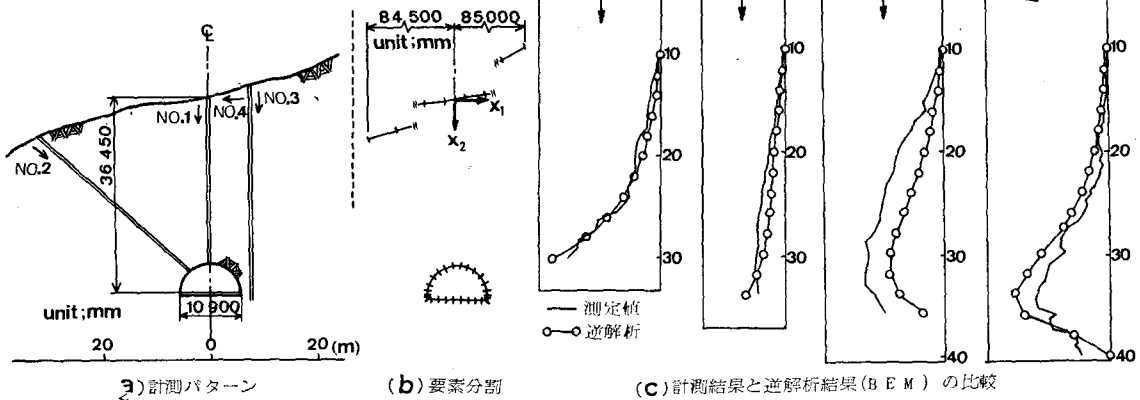


図-4 B トンネルの場合

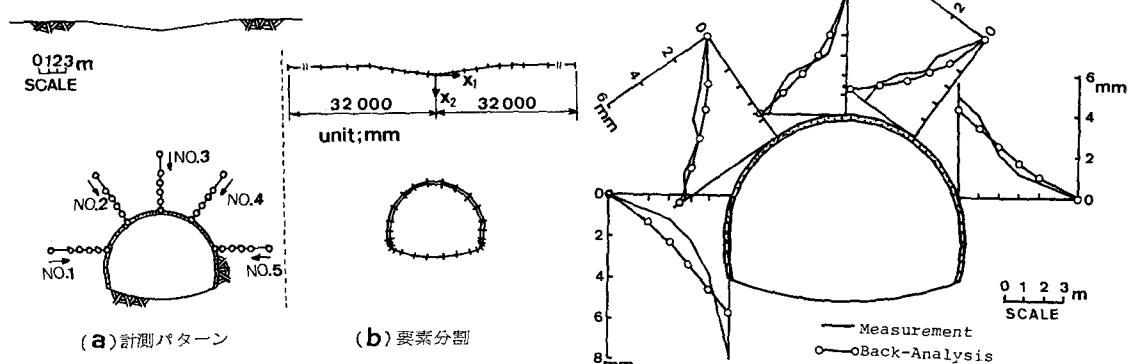


図-5 C トンネルの場合

表-2 A トンネルの逆解析結果

	σ_{11}^o	σ_{22}^o	σ_{33}^o	E_R
BEM	73.7	100.0	0.3	1739.1
FEM	80.3	100.0	0.4	1641.8

ただし、圧縮を正とする。(単位:%)

表-3 B トンネルの逆解析結果

	σ_{11}^o	σ_{22}^o	σ_{33}^o	E_R
BEM	10.96	9.50	-2.54	14983.2
FEM	9.25	9.50	-2.95	11875.0

ただし、圧縮を正とする。(単位:%)

表-4 C トンネルの逆解析結果

	σ_{11}^o	σ_{22}^o	σ_{33}^o	E_R
BEM	4.61	4.80	0.61	2281.4
FEM	5.96	4.80	0.66	2696.6

ただし、圧縮を正とする。(単位:%)